

ОБЪЕДИНЕННЫЙ  
ИНСТИТУТ  
ЯДЕРНЫХ  
ИССЛЕДОВАНИЙ  
ДУБНА



У8406+С34115

P6 - 10183

K - 806

Т.Крецу, В.В.Кузнецов, Г.Макарие

496/1-77

ПРОБЛЕМЫ ОБРАБОТКИ СЛОЖНЫХ БЕТА-СПЕКТРОВ.  
ОПИСАНИЕ ПРОГРАММЫ „BETARZ“

56-52

**1976**

P6 - 10183

Т.Крецу\*, В.В.Кузнецов, Г.Макарие\*

ПРОБЛЕМЫ ОБРАБОТКИ СЛОЖНЫХ БЕТА-СПЕКТРОВ.  
ОПИСАНИЕ ПРОГРАММЫ „BETARZ”

*Направлено в "Revue Roumaine de Physique"*



---

\* Политехнический институт, Бухарест

Крецу Т. и др.

P6 - 10183

Проблемы обработки сложных бета-спектров. Описание программы "BETARZ"

Обсуждается метод обработки сложных бета-спектров, измеряемых на магнитных бета-спектрометрах. Дано описание программы "BETARZ" для обработки бета-спектров как для разрешенных, так и для запрещенных переходов. Учитываются соответствующие аппаратурные поправки в случае измерения спектров на безжелезном бета-спектрометре с торoidalным магнитным полем СТ-2.

Работа выполнена в Лаборатории ядерных проблем ОИЯИ.

Препринт Объединенного института ядерных исследований  
Дубна 1976

Kretsu T. et al.

P6 - 10183

Problems of Processing of Complex  $\beta$ -Spectra.  
Programme Description

The method of processing complex  $\beta$ -spectra, measured at the magnetic  $\beta$ -spectrometers, is discussed. The programme "BETARZ" is discussed used for processing the  $\beta$ -spectra both for allowed and forbidden transitions. The corresponding apparatus corrections are taken into account for the case of measuring the spectra at the iron-free  $\beta^+$ -spectrometer with toroidal magnetic field CT-2.

The investigation has been performed at the Laboratory of Nuclear Problems, JINR.

Preprint of the Joint Institute for Nuclear Research  
Dubna 1976

## 1. ВВЕДЕНИЕ

Экспериментальное распределение  $N(E)$  бета-частиц, нормированное на единичный интервал энергий, в случае измерения бета-спектра, состоящего из одного компонента, можно записать в виде /1/

$$N(E) = N_c(E) - N_\phi(E) = \text{const} E p F(E, \pm Z) S(E)(E_0 - E)^2, \quad /1/$$

где  $p$  - импульс бета-частиц ( $\beta^\pm$ ),  $(E_0 - E) = q$  - импульс нейтрино,  $E_0$  - максимальная /гранична/ энергия бета-частиц спектра,  $F(E, \pm Z)$  - функция Ферми для  $\beta^-$ - или  $\beta^+$ -распада и  $S(E)$  - формфактор бета-спектра для данного бета-перехода,  $N_c(E)$  - число отсчетов эффект + фон,  $N_\phi(E)$  - значения фона при соответствующих значениях энергии  $E$ . Если распределение  $N(E)$  является статистическим, то  $S(E) = \text{const}$ , и тогда из /1/ получается выражение:

$$\sqrt{\frac{N(E)}{E p F(E, \pm Z)}} = \text{const} (E_0 - E), \quad /2/$$

удобно представляемое в виде графика-прямой, пересекающей ось абсцисс в точке  $E = E_0$ ,

$$\sqrt{\frac{N(E)}{E p F(E, \pm Z)}} = y(E), \quad /2a/$$

обычно называемого графиком Ферми-Кюри /Ф.-К./.

Отклонение спектра бета-частиц от статистического распределения оценивается по характеру поведения экспериментального формфактора<sup>1</sup>

$$S_1(E) = \frac{N(E)}{EpF(E, \pm Z)(E_0 - E)^2} . \quad /3/$$

Так как значения формфактора, определенные по формуле /3/, зависят от значения граничной энергии  $E_0$ , то при  $S(E) \neq \text{const}$  экспериментальное распределение необходимо аппроксимировать по формуле:

$$\frac{N(E)}{EpF(E, \pm Z)} = c \cdot S_1(E)(E_0 - E)^2 \quad /3a/$$

где  $c$  - нормировочный коэффициент. При такой обработке граничная энергия и параметры, характеризующие формфактор  $S_1(E)$ , являются свободными параметрами<sup>2-4</sup>. Зависимость  $S_1(E)$  от энергии аппроксимируется авторами экспериментальных работ по одному из следующих выражений<sup>5,6</sup>:

$$\begin{aligned} S_1(E) &= 1 + aE, & S_1(E) &= 1 + aE + cE^2, \\ S_1(E) &= 1 + b/E, & S_1(E) &= 1 + aE + b/E + cE^2 \end{aligned} \quad /4/$$

Точное определение параметров  $a$ ,  $b$ ,  $c$  имеет большое значение, так как они могут быть выражены через матричные элементы исследуемого бета-перехода<sup>7-9</sup>. Чтобы сделать соответствующие теоретические выводы из полученных результатов, необходимо в первую очередь убедиться в том, что в используемых табличных значениях функции Ферми  $F(E, \pm Z)$  учтены все поправки<sup>10</sup>. В работе<sup>11</sup> показано, что при обработке измеренного  $\beta^-$ -спектра  $^{198}\text{Au}(2^-, 2^+)$ , принимая  $S(E) = 1 + aE$ , получаются разные значения параметра  $a$  в случаях использования значений функции Ферми  $F(E, Z)$  из разных таблиц. Наблюдаемые разногласия между экспериментальными данными, особенно по параметрам  $a, b, c$ <sup>4-6</sup>, полученными при измерениях с помощью разных магнитных бета-спектрометров, могут быть обусловлены следующими факторами<sup>12-15</sup>:

- а/ толщиной источника и его подложки,
- б/ эффективностью регистрации бета-частиц детектором,
- в/ методом анализа измеренного бета-спектра,
- г/ неточностью в измерениях значений тока  $I$  спектрометра,
- д/ использованием разных таблиц для функций Ферми  $F(E, Z)$ ,
- е/ разными приближениями при введении поправок на разрешение и на форму линий конверсионных электронов,
- ж/ другими аппаратурными эффектами.

Полученное при измерении распределение  $N(E)$  необходимо исправить введением соответствующих коэффициентов, учитывающих перечисленные выше факторы. Обычно "истинное" распределение  $N'(E)$  записывается в виде:

$$N'(E) = [N_c(E) - N_\phi(E)]C_v(E)C_R(E)\exp\{-0,69315t_i/T_{1/2}\} / 5/$$

где  $C_v$ ,  $C_v$  и  $C_R$  - поправочные коэффициенты на эффективность регистрации бета-частиц детектором, на обратное рассеяние бета-частиц в подложке источника и на разрешение бета-спектрометра, соответственно;  $t_i$  - интервал времени, прошедшего с момента определения первой точки измеренного распределения,  $T_{1/2}$  - период полураспада исследуемого изотопа.

Так как эти поправочные коэффициенты зависят от типа и конструкции используемого бета-спектрометра и условий проведения эксперимента, нами был проведен ряд исследований на бета-спектрометре СТ-2<sup>16</sup> с целью выяснения вклада от факторов, приводящих к искажению бета-спектров. В этой статье даются краткие сведения о некоторых полученных результатах.

Проведенные исследования спектра позитронов<sup>22</sup>  $\text{Na}/E_0 = 545 \text{ кэВ}$  показали, что при используемой нами подложке источника доля обратно рассеянных бета-частиц  $< 2\%$  при энергии 150 кэВ. Поэтому в области энергий больше 150 кэВ при обработке можно считать  $C_v = 1$ . По форме линий конверсионных электронов установлена функция отклика нашего прибора, что позволяет внести

более точные поправки  $C_0(E)$  вместо обычных поправок  $C_1(E)$ , учитывающих только разрешение /17/ бета-спектрометра. Показано, что при используемом нами уровне дискриминации импульсов,  $C_0=1$  в области энергий выше 130 кэВ как для электронов, так и для позитронов.

При создании программы для обработки сложных бета-спектров нужно исходить из общих положений и учитывать условия эксперимента и особенности бета-спектрометра /формула /5//.

Можно подчеркнуть, что обработка бета-спектров при использовании графика Ф.-К. /формула /2// нечувствительна к искажениям распределения  $N(E)$  порядка 2-3%. Это приводит к достаточной точности при определении как значений интенсивностей, так и значений граничных энергий компонентов бета-спектра.

## 2. О ФОРМФАКТОРЕ $S(E)$

Анализ сложных бета-спектров затруднен еще тем, что при обработке необходимо вводить формфактор для каждого составляющего компонента. В случае, когда известны квантовые характеристики начального и конечных состояний ядер и соответствующие волновые функции, зависимость  $S(E)$  от энергии можно получить теоретически /7,8/, при этом расчет матричных элементов является трудоемким. При расчете приходится исходить из ряда предположений о структуре ядра /18,19/, однако, исходя из общих теоретических представлений, можно получить некоторую информацию о характере зависимости  $S(E)$  от энергии без конкретных расчетов соответствующих матричных элементов. Для получения более достоверных результатов при обработке экспериментальных данных в формуле /3a/ лучше вводить теоретический формфактор  $S(E)$  и затем аппроксимировать экспериментальное распределение с целью обнаружения отклонения экспериментального формфактора от теоретического. При этом число параметров в формулах /4/ можно уменьшить до одного /например,  $1+aE$  или  $1+b/E$ /, что увеличивает надежность аппроксимации /2-4,12/.

Остановимся кратко на теоретических соображениях о формфакторе  $S(E)$  для бета-переходов типа  $|\Delta J| = 0,1; \Delta\pi = +1/-, |\Delta J| = 0,1; \Delta\pi = -1/-, |\Delta J| = 2; \Delta\pi = +1/+ \text{ и } |\Delta J| = 2; \Delta\pi = -1/-$ .

2.1. При учете доминирующих матричных элементов в варианте теории бета-распада для разрешенных  $|\Delta J| = 0,1; \Delta\pi = +1/+$  переходов /7-9/ формфактор имеет вид

$$S(E) = C_V^2 |\int 1|^2 + C_A^2 |\int \sigma' |^2, \quad /6/$$

который не зависит от энергии испускаемых бета-частиц. В этом выражении  $\int 1$  - фермиевский матричный элемент;  $\int \sigma'$  - гамов-теллеровский матричный элемент,  $C_V$  и  $C_A$  - коэффициенты, определяющие долю аксиально-векторного и векторного взаимодействий при бета-распаде, соответственно, связанные между собой соотношением  $C_A/C_V = -1,262 \pm 0,008$  /20/.

Тщательный анализ формфактора  $S(E)$  для разрешенных переходов /21,22/ показал, что отклонение спектра бета-частиц от статистического распределения не превышает 2-3% при энергиях бета-частиц спектра вблизи  $E_0$ . Несмотря на то, что этим отклонением можно пренебречь при использовании формулы /2/, определение параметра "a" при аппроксимации формфактора  $S(E)=1+aE$  дает важную информацию о доле слабого магнитного взаимодействия при бета-распаде /22/.

2.2. Для бета-переходов первого запрещения  $|\Delta J| = 0,1; \Delta\pi = -1/-$  в "ξ-приближении" /23/ формфактор  $S(E)$  должен быть постоянным. Однако в ряде работ /24/ наблюдаются отклонения от "ξ-приближения" до 10% для бета-переходов типа  $1^- \rightarrow 0^+$  и  $\Gamma \rightarrow 2^+$ . Теоретическое описание зависимости формфактора  $S(E)$  от энергии бета-частиц для таких переходов затруднено тем, что при расчете необходимо учитывать большое число доминирующих матричных элементов /7-9/: 4 - для переходов с  $|\Delta J| = 1$ , и 6 - для переходов с  $|\Delta J| = 0$ . Для некоторых бета-переходов первого запрещения, например, для переходов  $2^- \rightarrow 2^+$   $^{198}\text{Au}$  и  $7/2^- \rightarrow 5/2^+ {^{141}\text{Ce}}^{25}$  не наблюдается заметного отклонения от статистического распределения /25/.

деления. Таким образом, точность полученных результатов  $S/E_0$  и  $S/\beta$  при использовании формулы /2/ для анализа спектров бета-частиц, соответствующих переходам первого запрещения, будет зависеть от степени отклонения формфактора  $S(E)$  от формфактора для разрешенных переходов.

2.3. Для бета-переходов второго запрещения  $\Delta J = 2$ ,  $\Delta\pi = +1$  формфактор  $S(E)$  содержит только три матричных элемента /26/ и может быть представлен следующим образом:

$$S(E) = q^2 + \lambda^2 p^2. \quad /7/$$

При обработке бета-спектров, соответствующих переходам второго запрещения, формулу /2/ применить нельзя. Измеренный бета-спектр или его участок в случае сложных бета-спектров аппроксимируется по формуле /3a/ со свободными параметрами  $\lambda^2$  и  $E_0$ . На основе гипотезы сохранения векторного тока <sup>27</sup> можно получить соответствующие соотношения матричных элементов для бета-переходов второго запрещения <sup>28</sup>. Параметр  $\lambda^2$  зависит от отношения матричных элементов, поэтому экспериментальное определение  $\lambda^2$  может дать существенную информацию о бета-процессе. Интересным бета-переходом такого типа является распад <sup>137</sup>Cs. Теоретический анализ бета-перехода  $7/2^+ - 3/2^+$  для <sup>137</sup>Cs приведен в работе /29/. Экспериментальные значения параметра  $\lambda^2$ , полученные в разных работах и приведенные в работе /30/, лежат в интервале  $/40 \pm 150/.10^{-4}$ .

2.4. Для уникальных бета-переходов первого запрещения ( $\Delta J = 2$ ;  $\Delta\pi = -1$ ) формфактор определяется однозначно, так как в нем содержится, в основном, только один матричный элемент. Бета-спектры уникальных переходов отличаются по форме от бета-спектров разрешенных переходов как в начале, так и в конце спектра, поэтому их обработку необходимо проводить с учетом формфактора  $S(E)$  по формуле /3a/. Теорети-

ческое выражение  $S(E)$  для уникальных переходов первого запрещения записывается следующим образом <sup>31</sup>:

$$S(E) = q^2 + 9 L_1/L_0. \quad /8/$$

Функции  $L_1$  и  $L_0$  рассчитаны и сведены в таблицах работы <sup>1</sup>. Так как  $L_1 = p^2/(3!!)^2$  и  $L_0 = 1$ , то выражение /8/ записывается обычно в виде:

$$S(E) = q^2 + p^2. \quad /9/$$

Исследования бета-спектров для уникальных переходов первого запрещения при распаде ядер <sup>42</sup>K, <sup>142</sup>Pr, <sup>86</sup>Rb и <sup>91</sup>Y <sup>32</sup> показали, что не наблюдается заметного отклонения экспериментальных формфакторов от теоретического /8/.

### 3. АНАЛИЗ СЛОЖНЫХ БЕТА-СПЕКТРОВ

#### 3.1. Краткое введение

При измерении бета-спектров на магнитных бета-спектрометрах получаются распределения чисел счетов  $N_c(I)$  и соответственно  $N_\phi(I)$  в зависимости от значений тока  $I$ . Спектрометры градуируются по положениям пиков конверсионных электронов исследуемых радиоактивных нуклидов. В каждом опыте определяется постоянная  $K$  и ее погрешность  $\Delta K$  в зависимости  $N_\rho$  от  $I$ :

$$N_\rho = K \cdot I. \quad /10/$$

Исходя из того, что значения импульсов бета-частиц, движущихся в фокусирующем магнитном поле спектрометра, связаны с  $N_\rho$  соотношением

$$p = K_1 \cdot N_\rho, \quad /11/$$

где по данным работы <sup>1</sup>  $K_1 = 0,58667 \cdot 10^{-3}$ , можно по формулам /10/ и /11/ определить величины импульсов бета-частиц  $p = K_1 \cdot K \cdot I$  при соответствующих значениях

тока I спектрометра. Это позволяет перейти от распределения  $N(I) \sim N_c(I) - N_{\phi}(I)$  к распределению  $N(p)$ . Для приведения экспериментального распределения  $N(p)$  к  $N(E)$  /формула 1// необходимо значения  $N(p)$  умножить на соответствующие значения функции  $\delta$  /1/

$$\delta = \frac{1}{p} \cdot \frac{dp}{dE} = \frac{E}{p^2} = \frac{\sqrt{\left(\frac{e}{m_0 c}\right)^2 (H\rho)^2 + 1}}{\left(\frac{e}{m_0 c}\right)^2 (H\rho)^2}. \quad /12/$$

Полная энергия E и произведение полной энергии бета-частицы на ее импульс Еρ выражаются через значения  $H\rho$  в виде:

$$E = m_0 c^2 \sqrt{\left(\frac{e}{m_0 c}\right)^2 (H\rho)^2 + 1} \quad /13/$$

и

$$E\rho = H\rho \sqrt{\left(\frac{e}{m_0 c}\right)^2 (H\rho)^2 + 1} \cdot \frac{e}{m_0 c}. \quad /13a/$$

### 3.2. Описание программы "BETARZ".

Для обработки сложных бета-спектров была создана программа "BETARZ" на языке "FORTRAN". За основу этой программы принят алгоритм, использованный в программе "BETA" /3/. Принципиальная схема последовательности операций для обработки бета-спектров приведена на рис. 1.

Исходными данными к этой программе являются:

$I_i$  - значения тока в витках катушки бета-спектрометра СТ-2;

$N_{ci}$  и  $N_{\phi i}$  - число зарегистрированных импульсов эффект+фон и число импульсов фона при соответствующих значениях тока  $I_i$ ;

$T_{1/2}$  - период полураспада исследуемого радиоактивного изотопа;

$t_i$  - интервал времени, прошедшего с момента определения первой точки измеренного распределения;

$F(E, Z)$  - значения функции Ферми для данного  $Z$ , взятые из таблиц книги Б.С.Джелепова и др. /1/;

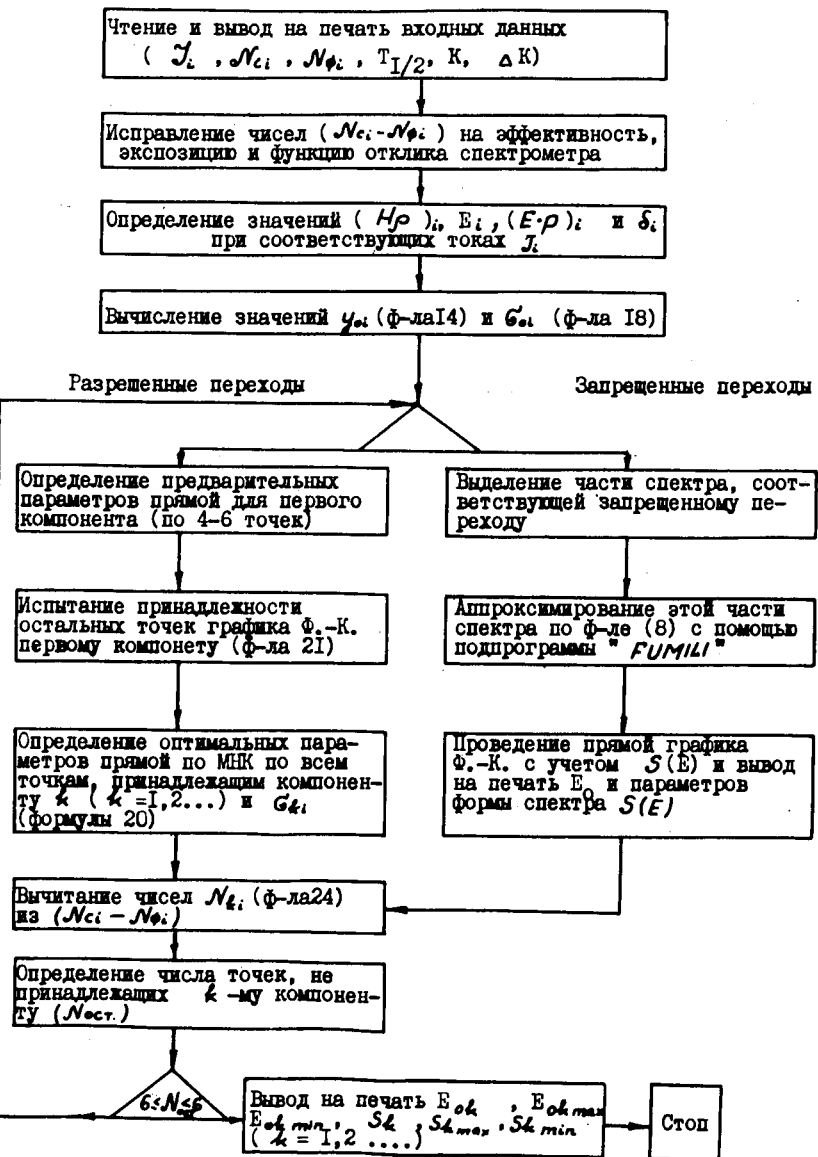


Рис. 1

$K$ ,  $\Delta K$  - градуировочный коэффициент и его погрешность, определяемые непосредственно по значениям энергий конверсионных электронов переходов исследуемого изотопа.

В программу введены подпрограммы, с помощью которых можно проводить исправление чисел  $N_i = N_{ci} - N_{\phi i}$  на эффективность регистрации бета-частиц детектором, на разные интервалы времени  $t_i$  измерения при различных значениях  $I_i$ , а также исправление бета-спектра, обусловленное характером функции отклика прибора. Поправки на эффективность регистрации бета-частиц детектором в нашем случае необходимо учитывать только при энергиях меньше 130 кэВ. Для нахождения поправок при определенных значениях энергий используется подпрограмма линейной интерполяции.

Обработка бета-спектров с помощью программы "BETARZ" происходит в следующей последовательности:

1. Определение  $N_i = N_{ci} - N_{\phi i}$ .

2. Исправление экспериментальных чисел  $N_i$  на период полураспада и, если необходимо, введение поправок на эффективность и на функцию отклика прибора, включение соответствующих подпрограмм.

3. Расчет значений  $(H\rho)_i$  для соответствующих значений  $I_i$  и перевод  $(H\rho)_i$  в  $E_i$ , а также вычисление величин  $(Ep)_i$  и  $\delta_i$  при каждом значении  $E_i$  /формулы /10/-//13/-/13a//.

4. По заданным значениям функции Ферми  $F(E, Z)$  из таблиц /1/ при линейной интерполяции определяются ее значения для всех энергий  $E_i$ .

5. Вычисление значений ординат графика  $\Phi$ - $K$ .

$$y_{oi} = \sqrt{\frac{(N_{ci} - N_{\phi i})\delta_i}{(Ep)_i F(E_i, Z)}} \quad /14/$$

при всех значениях  $E_i$ . Значениям  $y_{oi}$  на графике  $\Phi$ - $K$  присваивается статистическая ошибка

$$\sigma_{ci} = \frac{1}{2} \sqrt{\frac{\delta_i}{(Ep)_i F(E_i, Z)}} \times \sqrt{\frac{N_{ci} + N_{\phi i}}{N_{ci} - N_{\phi i}}} \quad /15/$$

К статистической ошибке в значении  $y_{oi}$  добавляется погрешность из-за неопределенности энергий  $E_i$  /34/. Эта неопределенность вытекает из полученной ошибки при определении значения  $K$ /формула /10//. При расчете погрешности в  $(\delta_i / EpF)^{1/2}$  можно пренебречь ошибкой в значении функции Ферми из-за малого ее изменения в интервале неопределенности энергии. После некоторых преобразований получается

$$\sqrt{\frac{\delta_i}{(Ep)_i F(E_i, Z)}} = \frac{1}{\sqrt{F(E_i, Z)}} (K_1 \cdot K \cdot I)^{-3/2} \quad /16/$$

Тогда погрешность из-за неопределенности коэффициента  $K$  будет

$$\sigma_{Hi} = \frac{3K_1 \cdot I_i}{2\sqrt{F(E_i, Z)}} \cdot (K_1 \cdot K \cdot I_i)^{-5/2} \cdot \Delta K \quad /17/$$

Общую погрешность в значении  $y_{oi}$  можно записать

$$\sigma_{oi} = \sqrt{\sigma_{ci}^2 + \sigma_{Hi}^2} \quad /18/$$

6. Проведение прямой по методу наименьших квадратов /МНК/ /34,35/ производится в следующей последовательности:

a/ по выбранному числу  $\ell \Sigma 4$  точек, начиная с экспериментальной точки, соответствующей наибольшему значению энергий, проводится предварительная прямая и оцениваются ее параметры:

$$y_{oi} = (A'_1 \pm \Delta A'_1) + (B'_1 \pm \Delta B'_1)E_i \quad \text{при } i=1, \dots, \ell \quad /19/$$

По полученным параметрам аппроксимируется график  $\Phi$ - $K$ - компонента наибольшей энергии /первого компонента бета-спектра/.

При проведении прямой коридор ошибок определяется по формулам /34/:

$$\sigma_{ki}^2 = \frac{1}{F'_{1k}} (A'_{1k} E_i^2 - 2B'_{1k} E_i + D'_{1k}) Q_k^2,$$

где

$$A'_{ik} = \sum_{j=1}^{\ell} P_{kj}, \quad B'_{ik} = \sum_{j=1}^{\ell} P_{kj} E_j, \quad D'_{ik} = \sum_{j=1}^{\ell} P_{kj} E_j^2,$$

$$F'_{ik} = A'_{ik} D'_{ik} - B'^2_{ik}, \quad P_{kj} = \frac{1}{\sigma_{oj}^2}, \quad /2O/$$

$$Q'^2_k = \frac{x'^2_{k \min}}{\ell - 2}, \quad x'^2_{k \min} = \sum_{j=1}^{\ell} P_{kj} (y_{kj} - A'_{ik} - B'_{ik} E_j)^2.$$

Буквой "k" обозначен номер компонента.

б/ Испытываются остальные точки графика Ф.-К.  $y_{oi}$  при  $i > \ell$  на принадлежность их первому компоненту по условию

$$y_{oi} - (A'_1 + B'_1 E_i) < \sigma'_{1i}. \quad /21/$$

После проведения этих операций определяется число точек  $n$ , принадлежащих данному компоненту.

в/ По МНК проводится окончательно прямая через  $n$  точек и определяются ее параметры  $A_1$  и  $B_1$  с погрешностями. По формулам /2O/ переопределяется коридор ошибок на прямой, с учетом оптимальных ее параметров  $A_1$  и  $B_1$ .

г/ По оптимальным значениям параметров прямой  $A_1$  и  $B_1$  для первого компонента определяется граничная энергия  $E_{01}$  по формуле

$$E_{01} = -A_1 / B_1. \quad /22/$$

Точки пересечения линий  $y_{1i} \pm \sigma_{1i}$  с осью энергий определяют максимальное  $E_{0\max}$  и минимальное  $E_{0\min}$  значения граничной энергии. По этим значениям определяется погрешность в  $E_{01}$ .

Для определения интенсивности компонента введена подпрограмма, которая позволяет вычислить площадь  $S_k$  распределения  $(N\delta)_{ki} = f(E_i)$ , пропорциональную

интенсивности соответствующего бета-перехода. Для первого компонента

$$S_1 = \sum_j (Ep)_j F(E_j, Z) (A_1 + B_1 E_j)^2. \quad /23/$$

Максимальное и минимальное значения  $S_{1\max}$  и  $S_{1\min}$  определяются по коридору ошибок, полученному при проведении прямой графика Ф.-К. Суммирование осуществляется с шагом, равным заданному интервалу энергии, как правило, через 1 кэВ.

7. Если при испытании принадлежности экспериментальных точек первому компоненту получается, что в начале бета-спектра существует число точек  $N_{\text{ост}} < 6$ , не принадлежащих этому компоненту, то после проведения операций, перечисленных выше в пунктах 1-6, программа останавливается. В этом случае выдаются на печать полученные результаты  $/E_{01}, E_{01\max}, E_{01\min}, S_1, S_{1\max}, S_{1\min}/$  и отметка о том, что спектр состоит из одного компонента.

8. Если  $N_{\text{ост}} \geq 6$ , то программа продолжает работу следующим образом:

а/ рассчитывает числа  $N_{1i}$ , соответствующие первому компоненту

$$N_{1i} = \frac{(Ep)_i F(E_i, Z)}{\delta_i} (A_1 + B_1 E_i)^2, \quad /24/$$

б/ производит вычитание  $N_{ci} - N_{\phi i} - N_{1i}$

в/ строит прямую - график Ф.-К. по точкам, полученным после вычитания первого компонента и производит операции, описанные в пунктах 6-8. Программа останавливается после обработки  $k$ -го компонента при выполнении условия п.7.

В ординатах графика Ф.-К. после вычитания  $k-1$  компонента будем иметь:

$$\sqrt{\frac{(N_{ci} - N_{\phi i} - \sum_{m=1}^{k-1} N_{mi}) \delta_i}{(Ep)_i F(E_i, Z)}} \pm \sqrt{\sigma_{oi}^2 + \sum_{m=1}^{k-1} \sigma_{mi}^2}. \quad /25/$$

9. В случае бета-спектров запрещенных переходов  $(S(E) \neq \text{const})$  выбирается часть спектра, не содержащая

других компонентов, и обрабатывается отдельно. В этом случае производится аппроксимирование формы спектра с помощью подпрограммы "FUMILI"/36/. При этом параметры, характеризующие формфактор спектра /формула /3a//, и граничная энергия бета-частиц  $E_0$  являются свободными параметрами. Надежные результаты можно получить в том случае, если участок бета-спектра запрещенного перехода содержит достаточное число экспериментальных точек /не менее 20/ и если эффект превышает фон не меньше чем в 5-10 раз.

#### 4. ЗАКЛЮЧЕНИЕ

Из вышеизложенного /§3/ следует, что для достижения достаточной точности при определении  $E_{\beta k}$  и  $S_k$  при разделении измеренного сложного бета-спектра на составляющие компоненты, необходимо выполнить следующие условия:

а/ иметь большое отношение эффекта к фону / $> 5$ / при хорошей статистике /статистическая ошибка 1-3% на максимуме распределения/ /формула /15//;

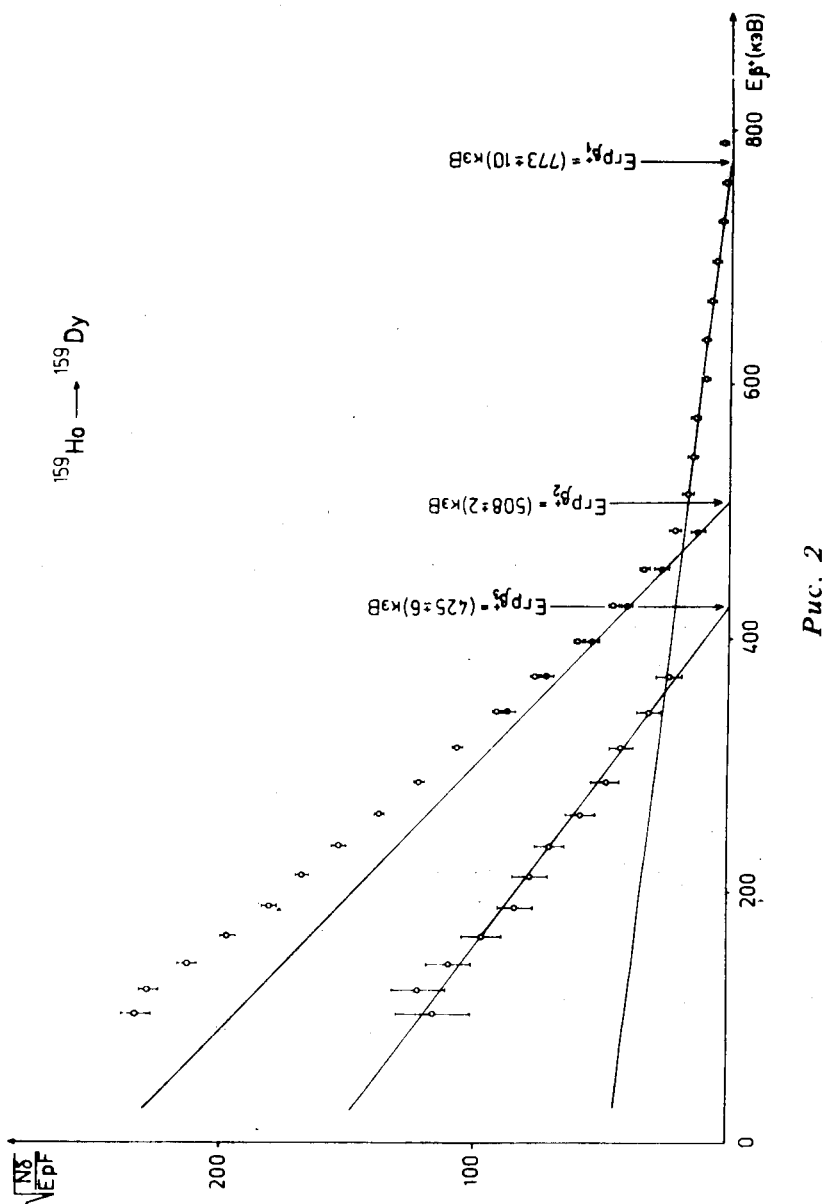
б/ получить достаточное число точек /формула /20//, принадлежащих каждому компоненту;

в/ определить постоянную К/формула /10// с максимально возможной точностью.

Как видно из формулы /25/, коридор ошибок при проведении прямой на графике Ф.-К. для  $k$ -компонента определяется коридором ошибок предыдущего компонента ( $k-1$ ). Для обнаружения  $k+1$ -компонента необходимо выполнение условия

$$\sqrt{\frac{(N_{k+1} \cdot \delta)_i}{(E_p)_i F(E_i, Z)}} - \sqrt{\frac{(N_k \cdot \delta)_i}{(E_p)_i F(E_i, Z)}} \geq (2 \div 3) \sigma_{ki}, \quad /26/$$

Это условие менее жестко в случае, когда интенсивность  $k$ -компонента меньше интенсивности  $k+1$ -компонента в измеренном бета-спектре.



При проведении прямой по графику Ф.-К. для каждого компонента вычисляется  $\chi^2/34$ , по которому можно оценить уровень достоверности значений  $E_{ok}$  и  $S_k$   $k$ -компонента. К значениям погрешности  $\Delta E_{ok}$ , полученной по коридору ошибок при проведении прямой по графику Ф.-К., добавляется погрешность  $\Delta E_{ok}$ , обусловленная неопределенностью значения  $E_{ok}$  из-за неточности в определении  $K$  по формуле /10/.

Описанный метод для обработки сложных бета-спектров был применен в ряде случаев. В качестве примера на рис. 2 приведен график Ф.-К., полученный при обработке спектра позитронов  $^{159}\text{Ho}$ , состоящего из трех компонентов.

Большая светосила нашего прибора /10÷20%/ и возможность проведения измерений с малым шагом с  $\Delta E$  вплоть до 1 кэВ обеспечивает условие для разделения измеренных сложных бета-спектров, состоящих из 4-5 компонентов при разнице ( $E_{ok} - E_{o(k)}$ )  $\leq 40$  кэВ.

В заключение авторы считают своим приятным долгом выразить благодарность профессору К.Я.Громову, Н.А.Головкову за полезную дискуссию при подготовке этой статьи и В.Н.Покровскому - за ценные замечания.

## ЛИТЕРАТУРА

1. Б.С.Джелепов, Л.Н.Зырянова, Ю.П.Суслов. Кн. "Бета-процессы". Изд. "Наука", Ленинград, 1972.
2. H. Beekhuis, H. de Waard. Nucl. Phys., 74, 459 /1965/.
3. H. Beekhuis, R.J. van Duinen. Nucl. Phys., A108, 382 /1968/.
4. S.Y. Van der Werf, H. de Waard, H. Beekluis. Nucl. Phys., A134, 215 /1969/.
5. H. Paul, Nuclear Data, v. 2, nr. 3, 281 /1966/.
6. H. Daniel. Rev. Mod. Phys., 40, 659 /1968/.
7. H. Schopper. Weak Interactions and Nuclear Beta Decay, North-Holland Co., Amsterdam, 1966.
8. H. Behrens, J. Janecke, Landolt Bornstein, Numerical Data and Functional Relationships in Science and Technology, new series, group I, v. 4, Numerical Tables for  $\beta$ -Decay and Electron Capture (Springer Verlag, Berlin), 1969.
9. H. Behrens, W. Buhring. Nucl. Phys., A162, 111 /1971/.
10. Р.Блин-Стойл, кн. "Фундаментальные взаимодействия и атомное ядро", Изд. "Мир", Москва, 1976.
11. H. Paul. Nucl. Phys., 72, 328 /1965/.
12. T. Nagarajan, K. Venkata Reddy. Nucl. Instr. and Meth., 80, 217 /1970/.
13. T. Nagarajan, M. Ravindranath, K. Venkata Reddy. Nucl. Instr. and Meth., 67, 77 /1969/.
14. T. Nagarajan, M. Ravindranath, K. Venkata Reddy, Swami Jnanananda. Phys. Rev., 178, 1968 /1969/.
15. H. Paul. Nucl. Instr. and Meth., 37, 109 /1965/.
16. М.Гасиор, К.Я.Громов, В.В.Кузнецов, Г.И.Лизурей, А.В.Потемпа, Е.Дец, Е.Корецки, Е.Стажевски, М.Янишки. ОИЯИ, Дб-7094, 167, Дубна, 1973.
17. H. Paul. Nucl. Instr. and Meth., 31, 307 /1964/.
18. D. Bogdan, Tr. Cretu, G. Macarie. Z. Phys., 263, 121 /1973/.
19. D. Bogdan, Tr. Cretu, G. Macarie. Z. Phys., 265, 385 /1973/.
20. H. Paul. Nucl. Phys., A154, 160 /1970/.
21. H. Behrens, M. Kobelt, L. Szybisz, W.-G. Thies. Nucl. Phys., A246, 317 /1975/.
22. H. Genz, A. Richter, B.M. Schmitz, H. Behrens. Nucl. Phys., A267, 13 /1976/.
23. T. Kotani, M. Ross. Progr. Theor. Phys., 20, 643 /1958/.
24. J.C. Manthuruthil, C.P. Poirier, K.S.R. Satry, R.F. Petry, B.K. Cantrell, R. Wilkinson. Phys. Rev., C4, nr. 3, 960 /1971/.
25. H. E. Bosch, M. C. Cambiaggis, L. Szybisz. Phys. Rev., C7, 760, 768 /1973/.
26. P. Lipník, J. W. Sunier. Phys. Rev., 145, 746 /1966/.
27. R.P. Feynman, M. Gell-Mann. Phys. Rev., 109, 193 /1958/.
28. J.-I. Fujita. Progr. Theor. Phys., 28, 338 /1962/.
29. L. Szybisz. Z. Phys., 269, 139 /1974/.
30. H. Schneuwly, L. Schellenberg, O. Huber, W. Lindt. Helv. Phys. Acta, 42, 743 /1969/.
31. Е.Конопинский, М.Роуз в кн. "Альфа-, бета-, гамма-спектроскопия" под ред. К.Зигбана, т.4, гл. 23, Атомиздат, М., 1969.
32. C. Narasimha Rao, B. Mallikharjuna Rao, P. Mallikharjuna Rao, K. Venkata Reddy. Phys. Rev., C11, 1735 /1975/.
33. Г.Макарне. ОИЯИ, Дб-8846, 167, Дубна, 1975.
34. Б.С.Джелепов, кн. "Методы разработки сложных схем распада". Наука, М., 1974.
35. Д.Худсон, кн. "Статистика для физиков", Изд. "Мир", М., 1967.
36. И.Н. Силин. ОИЯИ, 11-3362, Дубна, 1967.

Рукопись поступила в издательский отдел  
25 октября 1976 года.